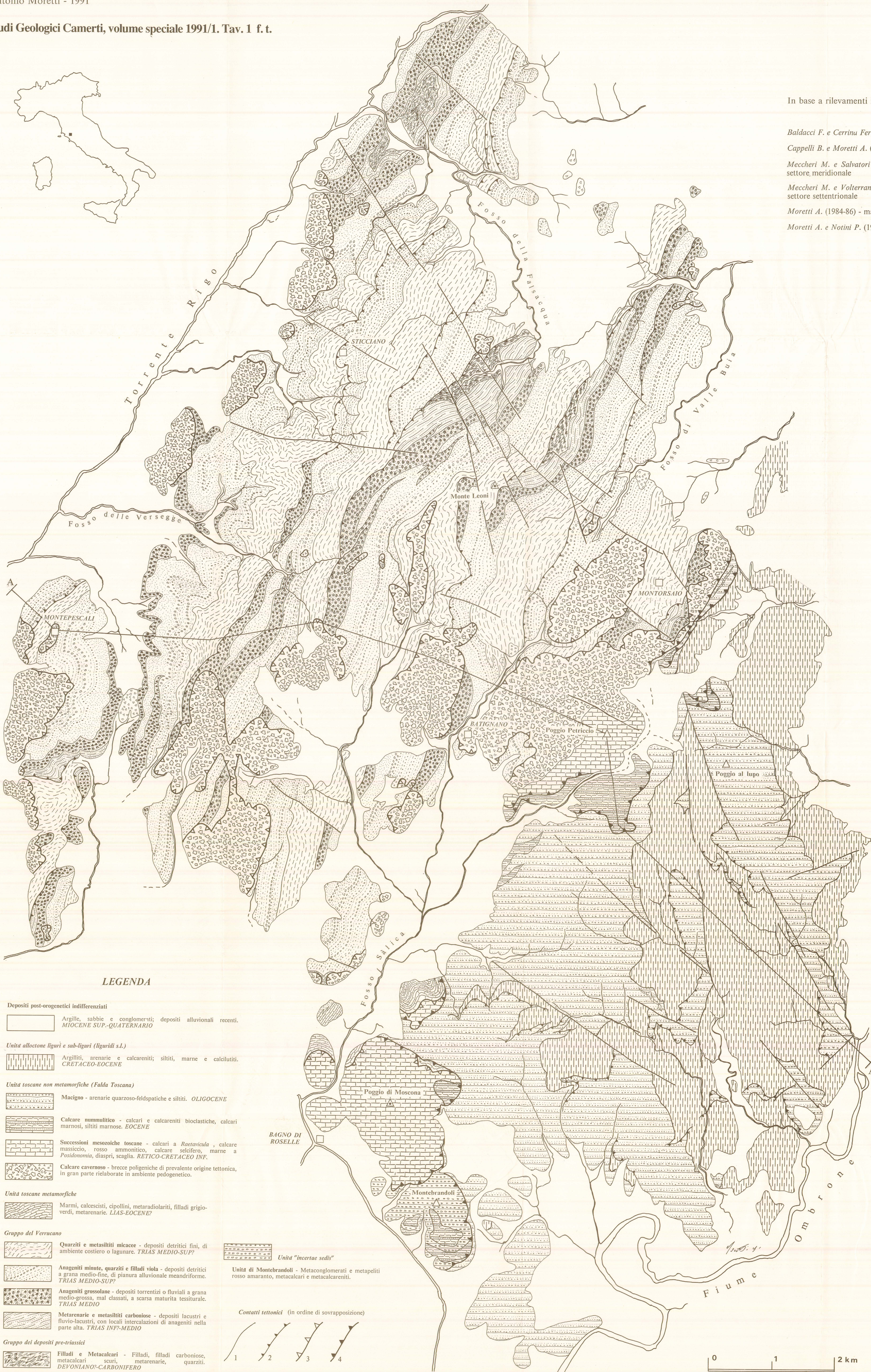


# CARTA GEOLOGICA DELL'AREA DI MONTE LEONI-ROSELLE (GR)

Antonio Moretti - 1991

Studi Geologici Camerti, volume speciale 1991/1. Tav. 1 f. t.



## LEGENDA

### Depositi post-orogenetici indifferenziati

Argille, sabbie e conglomerati; depositi alluvionali recenti.  
MIOCENE SUP.-QUATERNARIO

### Unità alloctone liguri e sub-liguri (liguridi s.l.)

Argilliti, arenarie e calcareniti; siltiti, marne e calcilutiti.  
CRETACEO-EOCENE

### Unità toscane non metamorfiche (Falda Toscana)

Macigno - arenarie quarzoso-feldspatiche e siltiti. OLIGOCENE

Calcare marmittico - calcari e calcareniti bioclastiche, calcari marnosi, siltiti marnose. EOCENE

Successioni mesozoiche toscane - calcari a *Raetavicula*, calcare massiccio, rosso ammonitico, calcare selcifero, marne a *Posidonomia*, diaspri, scaglia. RETICO-CRETACEO INF.

Calcare cavernoso - breccie poligeniche di prevalente origine tettonica, in gran parte rielaborate in ambiente pedogenetico.

### Unità toscane metamorfiche

Marmi, calcocisti, cipollini, metaradiolariti, filladi grigio-verdi, metarenarie. LIAS-EOCENE?

### Gruppo del Verrucano

Quarziti e metasiltiti micacee - depositi detritici fini, di ambiente costiero o lagunare. TRIAS MEDIO-SUP?

Anageniti minute, quarziti e filladi viola - depositi detritici a grana medio-fine, di pianura alluvionale meandriiforme. TRIAS MEDIO-SUP?

Anageniti grossolane - depositi torrentizi o fluviali a grana medio-grossa, mal classati, a scarsa maturità tessiturale. TRIAS MEDIO

Metarenarie e metasiltiti carboniose - depositi lacustri e fluvio-lacustri, con locali intercalazioni di anageniti nella parte alta. TRIAS INF?-MEDIO

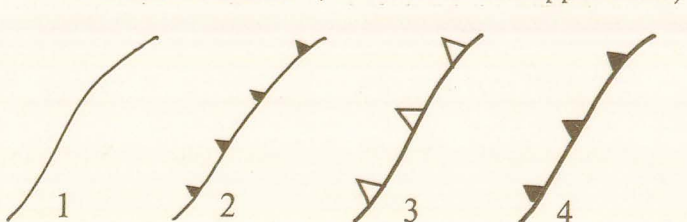
### Gruppo dei depositi pre-triassici

Filladi e Metacalari - Filladi, filladi carboniose, metacalari scuri, metarenarie, quarziti. DEVONIANO-CARBONIFERO

Unità "incertae sedis"

Unità di Montebandoli - Metaconglomerati e metapelti rosso amaranto, metacalari e metacalcareniti.

Contatti tettonici (in ordine di sovrapposizione)



In base a rilevamenti inediti di:

Baldacci F. e Cerrina Feroni A. (1977-78) - Roselle-Montebandoli

Cappelli B. e Moretti A. (1985) - copertura ligure e Macigno

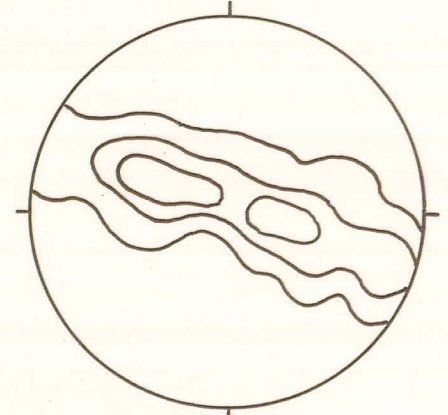
Meccheri M. e Salvatori A. (1988-89) - massiccio di Monte Leoni, settore meridionale

Meccheri M. e Volterrani S. (1984-85) - massiccio di Monte Leoni, settore settentrionale

Moretti A. (1984-86) - massiccio di Monte Leoni

Moretti A. e Notini P. (1984-86) - Roselle-Poggio Moscona

Distribuzione degli elementi strutturali nel massiccio di Monte Leoni - proiezione equivalente di Schmidt, emisfero inferiore



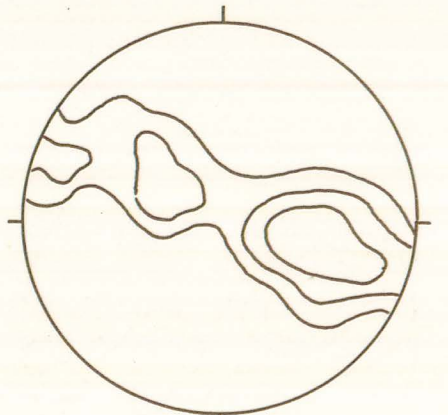
Distribuzione statistica di 352 poli di stratificazione (S0).

Classi di frequenza > 1-3-5%



Distribuzione statistica di 82 tra assi di pieghe minori di fase D2 e linee di intersezione S0/S2.

Classi di frequenza > 3-6-9-12%



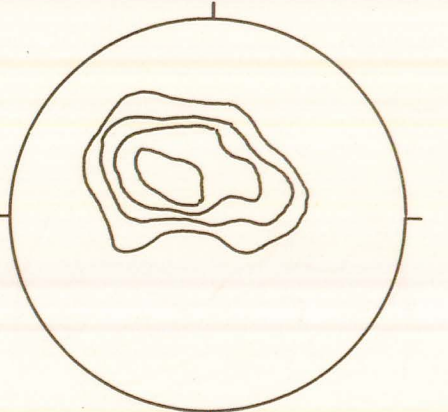
Distribuzione statistica di 188 poli di scistosità di piano assiale S2.

Classi di frequenza > 1-3-5%



Distribuzione statistica di 207 tra assi di pieghe minori e linee di crenulazione di fase D3.

Classi di frequenza > 1-3-6-9%



Distribuzione statistica di 98 superfici di piano assiale di fase D3.

Classi di frequenza > 1-3-5-10%

